

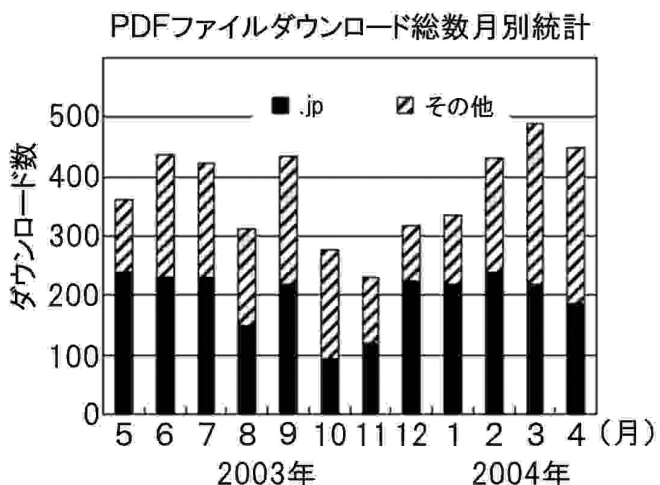
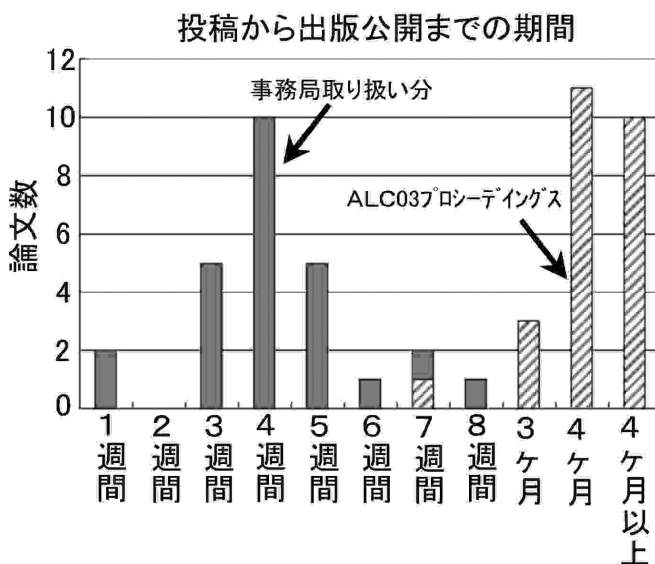
ホームページ：<http://www.sssj.org/ejssnt> 電子メール：[ejssnt@sssj.org](mailto:ejssnt@sssj.org)  
J-Stage アーカイブ：<http://ejssnt.jstage.jst.go.jp>

月別 統計	IPア ドレス (注)	2003年								2004年				総数
		5月	6月	7月	8月	9月	10月	11月	12月	1月	2月	3月	4月	
公開 論文数		5	2	3	1	0	1	1	14	4	12	4	6	53
アクセス数	.jp	2323	2006	1786	991	1246	704	767	1000	986	1160	1061	804	29471
	他	1118	1465	1194	990	1281	1384	636	685	1158	1365	1624	1737	
PDFファ イルのダウ ンロード数	.jp	240	229	229	150	218	93	118	224	219	240	219	187	4493
	他	122	207	193	163	215	183	112	94	116	191	269	262	

(注) アクセス IP アドレス：「他」は .jp 以外。.com や海外からのアクセスを意味する。

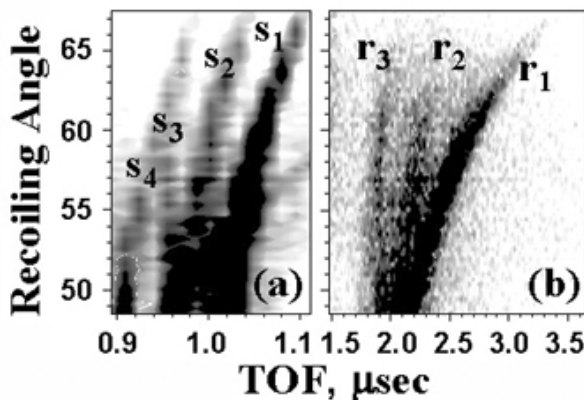
## 創刊 1 周年

e-JSSNT が創刊されてから丸 1 年が経ち、その間、上の表が示すように、計 53 本の論文が出版公開されました。e-JSSNT へのアクセス総数は 29,000 件以上、論文の PDF ファイルダウンロード総数は 4,500 件近くまでに上りました。月別統計を右下図に示します。特に最近では海外からのアクセス・ダウンロードが増加しています。これはジャーナルの知名度に関わらず、J-Stage が提供している引用文献の相互オンラインリンク機能によって、個々の論文間の相互リンク網に e-JSSNT の論文が載っていることが功を奏しているためです。もちろん、フリーアクセスを許していることも重要です。また、カラー図による効果的な表現はもちろんのこと、動画 (STM ムービー) を電子付録として掲載した論文 (Vol. 2, pp. 165-168) も公開され、純粋電子ジャーナルならではの特長が発揮されています。これからも各種国際会議・シンポジウムなどのプロシードィングス論文を積極的に掲載すると同時に、Regular Paper や Review Paper、Superexpress Letter、Technical Notes などの通常論文も極めて迅速に掲載してまいります。左下図に示すように、eJSSNT 事務局取り扱いの論文に関しては、投稿から出版公開まで最短で 1 週間以内、おそらく 5 週間以内にほとんどの論文が処理されています。このような極めて迅速な処理は、論文査読者の献身的なご協力によって実現しており、心から感謝申し上げます。会員の皆様からの積極的な投稿によって、この分野での情報発信基地としての地位を確立していきたいと考えています。



**イオン散乱での飛行時間と散乱・反跳角分布の同時測定**  
**Scattering and recoiling mapping of the Kr-Pt(111) and Ne-Ni(111) systems by SARIS** (Conf. Paper -ALC'03-) <http://dx.doi.org/10.1380/ejssnt.2004.93>  
 —I. L. Bolotin, A. Kutana, B. N. Makarenko, and J. W. Rabalais, Vol. 2, pp. 93-98. (February 24, 2004) —

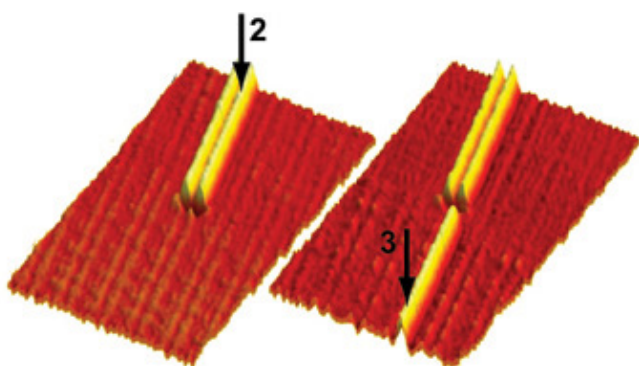
飛行時間型 (TOF) イオン散乱分光において、大立体角度検出器を使って散乱イオンのエネルギー分布と角度分布を同時に測定する「散乱・反跳イメージング分光法 (SARIS)」が開発され、時間・空間分解能とともに飛躍的に向上した。ここでは、Pt(111)表面およびNi(111)表面にそれぞれ照射・散乱されたKr およびNe イオンのエネルギー・角度分布、およびPt と Ni 反跳原子のそれらについて大面積マイクロチャネルプレートを用いた SARIS 測定の結果を報告する。その結果を古典的な3次元イオン軌跡シュミレーションと比較し、散乱および反跳過程を解析した。それにより、追跡した特定の軌跡で散乱・反跳が起こる確率やそれが起こる原子層の特定が可能となってきた。



**STM探針刺激によるポリマーナノワイヤの作成**  
**Creation of conjugated polymer nanowires through controlled chain polymerization** (Review)  
<http://dx.doi.org/10.1380/ejssnt.2004.99>  
 —Y. Okawa and M. Aono, Vol. 2, pp. 99-105 —  
 (February 25, 2004)

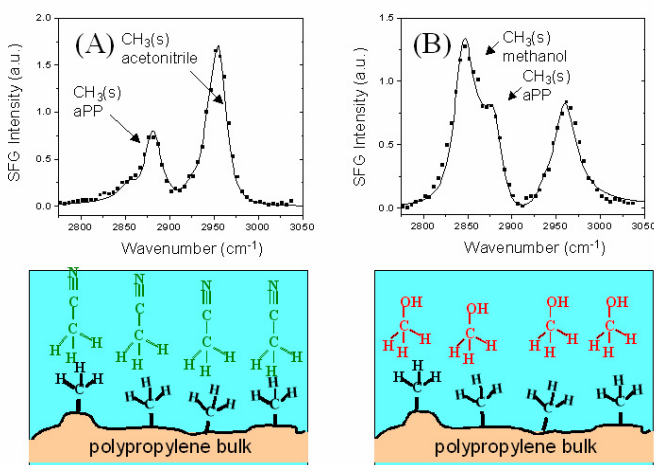
1974年の単一分子デバイスの提案以来、個々の分子をエレクトロニクスデバイスのエレメントとして利用しようという試みが続けられている。この流れは、自己組織化膜やカーボンナノチューブなど新規な分子の発見・作成が続いているため、ますます加速されている。しかし、個々の機能分子をどう配列し、どうインターフェクトするのか、という重要な問題が未解決のままであることも事実である。ここでは、伝導性有機分子ナノワイヤを、場所と長さを制御して作製することに成功した。単分子層の有機分子膜上の任意の地点で、STM探針によってパルス電圧を印可すると分子の重合反応が開始され、それが連鎖的に特定の方向に進んで、重合分子ナノワイヤが形成される。この連鎖重合反応は、分子膜中にあらかじめ作製しておいた欠陥の場所でストップするので、設計どおりの長さのワイヤを作ることができる。このような分子ナノワイヤ形成法の開発は

分子デバイス実現への重要な前進と考えられる。



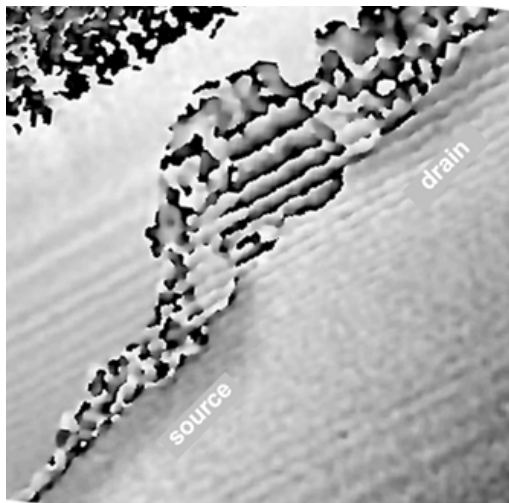
**和周波分光法による固液界面や高圧ガス中の表面の分析**  
**Sum Frequency Generation Vibrational Spectroscopy Characterization of Surface Monolayers: Catalytic Reaction Intermediates and Polymer Surfaces** (Conf. Paper -ALC'03-) <http://dx.doi.org/10.1380/ejssnt.2004.106>  
 —G. A. Somorjai, K. C. Chou, and M. Yang, Vol. 2, pp. 106-118 (February 28, 2004) —

真空中や低圧ガス雰囲気中での固体表面の研究は、電子線やイオン・原子線散乱・回折などによって精緻に研究されてきた。しかし、これらのテクニックは、固液界面や高圧ガス雰囲気中の固体表面の研究には使えない。そのためには走査プローブ顕微鏡および光のみを使う計測法が威力を発揮する。和周波発生 (SFG) 振動分光法はそのひとつであり、また、2次の非線形光学過程が反転対称性の破れた系でのみ許容されるため、極めて表面・界面に敏感であることから、固液界面や高圧ガス雰囲気中の固体表面での原子・分子レベル解析に活用されるようになってきた。ここでは、当研究室で行っている高圧ガス中の金属表面上での触媒反応の中間体やポリマーの表面、固液界面でのたんぱく質分子の構造・反応解析の研究を紹介する。SFG のおかげで、真空中での表面科学と同レベルの解析が可能となるばかりでなく、真空中では見られない複雑な触媒反応や溶液反応の詳細を明らかになってきた。



**電子線ホログラフィによるドーパント分布の解析**  
**Off -Axis Electron Holography for 2D Dopant Profiling of Ultra-Shallow Junctions** (Conf. Paper -ALC'03-)  
<http://dx.doi.org/10.1380/ejssnt.2004.119>  
 —B. G. Frost, D. C. Joy, and A. Thesen,  
 Vol. 2, pp. 119-124 (March 3, 2004)—

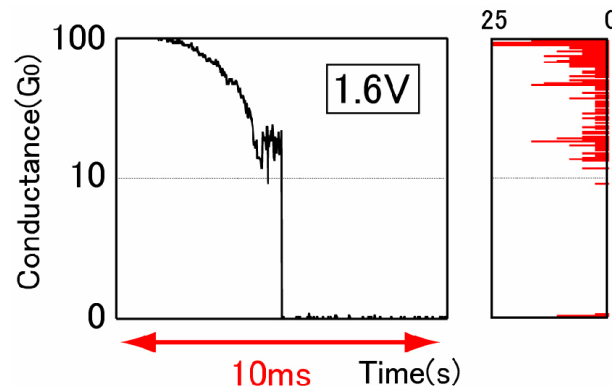
透過電子顕微鏡(TEM)を用いた非同軸型電子線ホログラフィ法によって、実際のSiプロセッサーのなかのCMOSトランジスタを解析した。そのために、中倍率(1.5~18万倍)でのホログラム撮影が可能な電子光学系を工夫した。ドーパントとしてボロンを打ち込んだ直後のSiウェハ試料は何のコントラストも示さなかつたが、それを700°Cにアニールすると、ボロン原子が電気的に活性化されてドーパントとして働くため、位相像にその分布を示すコントラストが現れた。次に、市販のゲート長75nmのペンティアムIIIプロセッサーのCMOSを解析した。注意深い数値解析とあわせることによって、その活性化されたドーパント分布やキャリア濃度を求めることができた。このように、従来のSIMSによるドーパント解析と違い、電子線ホログラフィでは電気的に活性化されたドーパントのみの分布を2次元像として知ることができ、しかも、その空間分解能は原子レベルまで達するので、ますます微細化する半導体デバイスの解析手法として極めて有効であるといえる。



**原子スケール金属コンタクトの大電流による不安定**  
**Stability of Atom-sized Metal Contacts under High Biases** (Conf. Paper -ALC'03-)  
<http://dx.doi.org/10.1380/ejssnt.2004.125> —  
 A. Fujii, J. Mizobata, S. Kurokawa and A. Sakai,  
 Vol. 2, pp. 125-130 (March 5, 2004)—

2つの金属電極の接点を離す直前には、その接点の大きさはナノメータスケールとなり、最後には、ある確率で単原子接点になってから破断する。その場合には伝導度が $G_0 (=2e^2/h)$ 単位で量子化される。さらに単原子接点は、両端に印加するバイアス電圧の増加とともに形成されにくくなる。Au接点の場合、2.3V程度以下で単原子接点が形成され、この状態で最大150μAの電流を流すことができる。Ag接点の場合、0.6V

以下のバイアス電圧でしか単原子接点を形成することができず、Auに比べて安定性が劣ることがわかつた。また、接点が破断する直前に特徴的な伝導度の揺らぎが観測された。この揺らぎは、伝導度がある閾値 $G_{th}$ 以上になると起こる。 $G_{th}$ は $10G_0$ から $50G_0$ の値をとり、電流とともに増加した。つまり、接点での電流密度がある閾値を超えると接点が不安定になって構造変化を起こし、単原子接点へ変化していくか、あるいは破断につながる。この不安定の機構はまだ不明だが、エレクトロマイグレーションなどが考えられる。



**ナノビームSIMSによる実用物質の解析**  
**Nano-dimensional analysis for practical materials using the nano-beam SIMS apparatus** (Conf. Paper -IWSI-)  
<http://dx.doi.org/10.1380/ejssnt.2004.131>  
 —M. Nojima, M. Toi, A. Maekawa, B. Tomiyasu, T. Sakamoto, M. Owari, and Y. Nihei, Vol. 2, pp. 131-140 (March 9, 2004)—

1次イオンビーム径が22nmで、高感度パラレル検出器を装備した2次イオン質量分析(SIMS)装置を開発した。これにより、高空間分解能・高感度で元素分布を解析することができ、Al配線DRAMの解析などに用いられた。ここでは、LSIなどに利用されているコンタクトホール(穴)の断面を解析した。コンタクトホールは、反応性イオンエッチングで形成される。2次電子像と2次イオン像でのコントラストが異なつたが、それはそれぞれの信号の検出深さ、および元素による感度の違いから解釈できる。また、コンタクトホール中にAlがはつきりと検出され、さらにわずかながらTiとWも検出された。TiN層はエッチングや電気的コンタクトの障壁になるので、他の方法と組み合わせてさらに詳細に分析する必要がある。

